

名城大学 正会員 伊藤政博

1. はじめに

海岸移動床模型実験の結果に基づいて、現地の海浜変形を予測する際に、実験における実験誤差の特性を十分調べておく必要がある。ことに、海浜変形の相似則を実験的に検証するうえで研究でもう一つ、実験誤差による影響はばかりでないであろう。

一般に、実験誤差には、実験器具の改良や測定者の熟達によっても避けがたいものとして、“偶然誤差”(accidental error)がある。本研究では、海浜変形における berm 頂の位置及び高さを対象として、従来筆者らがその一部を明らかにして沿岸線の移動に関する結果を含め、これらの偶然誤差について検討する。

2. 実験及び結果

実験は、二次元造波水槽の一筋汀周期均配の海浜を造り、造波板横水平床部水深 h 、波高 H_0 及び周期 T などの実験初期条件をすべて固定した状態で繰り返し実験を行なった。しづかて、同一実験条件の繰り返しでは、実験の諸条件は波の作用時間はほとんど同じになつている。しかしながら、実験には長時間波を用いたとしても海浜断面形状は完全に同じにならず、図-1で示されるように相当な相違が生じる。図-1の実験について、初期汀端から berm 頂までの水平距離(本稿では berm 頂の位置と称す) B_x/L_0 、静水面から berm 頂までの高さ(本稿では berm 頂の高さと称す) B_y/L_0 及び沿岸の移動量 X_{se}/L_0 の時間変化を繰り返し実験による各値のはじつきを図-2に示した。この図から、波の作用時間が $t=1/30$ 時間を境にして海浜の変形が急速化するが、しかる実験によるはじつきは波の作用時間によらず実験なく生じていいことが認められる。

3. 実験誤差

平衡状態にあるときの海浜断面形状について、その berm 頂の位置及び高さの偶然誤差は、誤差論からとる標的表示法があるが、ここでには平均誤差(mean error)で表示する。すなわち、

$$\bar{\epsilon}' \Delta X = \pm \frac{1}{n} \sum_{i=1}^n |X_i - \bar{X}| / m \quad \text{--- (1)}$$

\bar{X} に X_i は i 回目の測定値、 m に平均値、 n は繰り返し数。実験結果を式(1)で計算して berm 頂の位置の平均誤差 $\bar{\epsilon}' \Delta B_x/L_0$ 及び berm 頂の高さの平均誤差 $\bar{\epsilon}' \Delta B_y/L_0$ を津波波形勾配との関係で図-3 及び 4 に示した。これらの図には、波の作用時間 $t=1/30$ 時間以上で、海浜断面形状の変化が安定化して実験結果を使つて計算したもののが示されている。また、図中 k プロットした結果下、津波波高 H_0 と底質粒径 d 及び底質の比重 S の比 $H_0/(S-1)$ が 60 (すなはち、比重 $S=2.65$ の場合、 $H_0/d \approx 100$) を境に記号を区分するとともに、沿岸の前述あるのは後述についても分類表示してある。さらに、図-3 及び 4 には、実験の主旨が本研究では若干異異なるが参考として Watts (1954) による波の周期が一定、10 分毎に平均値から $\pm 10\%$ 及び 1 時間毎に $\pm 10\%$ 変動するものや、王井 (1977) による beach cusp の三次元平面実験結果をも含めてある。

その結果、図-3 及び 4 から津波波高粒径及び汀端の前述ある

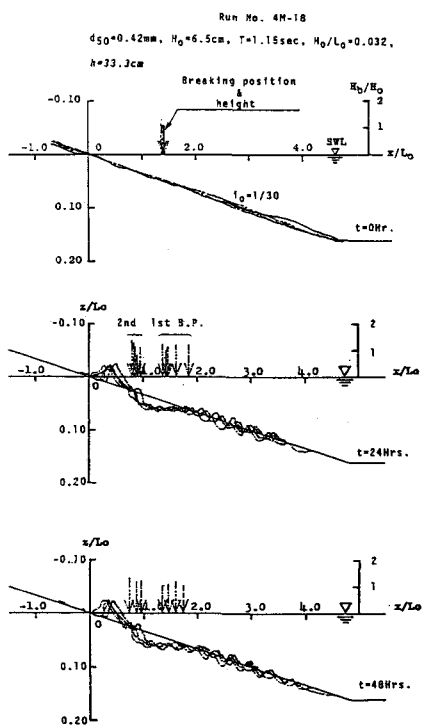


図-1 繰り返し実験による海浜断面形状及び碎波特性の相違

は後退が平均護岸に与えるはつきりした影響は見い出されない。図-3bに、berm頂の位置の平均護岸のはらつきを(最大公約数的に)包含する傾向を実線で示して。この実線を、 $\delta^* \approx 1.0$ と 10% の実験を表わすと次式のようになる。

$$E_{\text{ABx}}^{\text{1s}} / \nu_0 = \pm 3.95 \left(\frac{H_0}{\nu_0} \right)^{1/1} \approx \pm 4 \left(\frac{H_0}{\nu_0} \right)^{1/1} \quad \dots \dots \dots \quad (2)$$

まし、図-3には、同様の方法で求めた荷重移動量の平均誤差 $\bar{\sigma}^{\text{a}} \times X_{\text{se}} / L$ 及び引張から碎波突堤までの距離の平均誤差 $\bar{\sigma}^{\text{a}} \times X_b / L_0$ が測中に示されている。これらを比較すると、perm 領の位置の平均誤差の包含線は引張の移動量に近いものと傾向が非常によく一致している。一方、碎波突堤の位置につきましては、このようない致はないが、perm 領の位置の平均誤差の包含線は碎波突堤の位置に近いものの約 1/3 程度になつてゐる。

次に, berm頂の高さの平均誤差について, 上述と同じ様, ばらつきを包含する傾向を図-4に実線で示してある。この実線は, $E'By/L_0$ と H/L_0 の関係を表すと次のようになる。

$$E^s B_y / L_0 = \pm 0.0094 \left(H_0 / L_0 \right)^{1/4.2} \quad \dots \dots \quad (8)$$

さらに、図-4には海浜変形限界水深の平均誤差
と $\pm 1\%$ を図中に破線で示してある。海浜変形限界水深
は、沖側で初期流勾配から顯著な海浜の変形が起り
始める点を因上から読み取ることもので、りわゆる漂
砂の移動限界水深より若干浅い水深である。この海
浜変形限界水深に関する限りは、十分な数の実験データ
に対する裏付けが付いておりその極端的な傾向を包含するも
のである。

図-4から、berm頂の高さの平均誤差の包含範囲は海浜変形限界水深に対するもの約1/3~1/4程度である。

4. 結語

海苔の変形が変態化した場合における $b_{\text{M}}(t)$ の位置及び高さの平均誤差について、それらの包含線は井波透形と配との実験で定式化することができます。

参考文献

- 1)、京都大学土木会編：工事計測便覧文書、9.224、1970.
 2)、伊藤政博：海浜垂手の再現実験における実験課題
 —特に汀線の移動について—、第36回年次学術講演会講演要集第2部、pp. 831-832、1981.

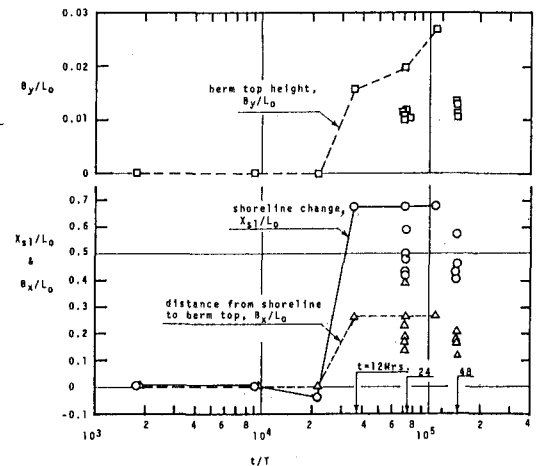


図-2. berm頂の位置、高さ及び汀線移動の経時変化

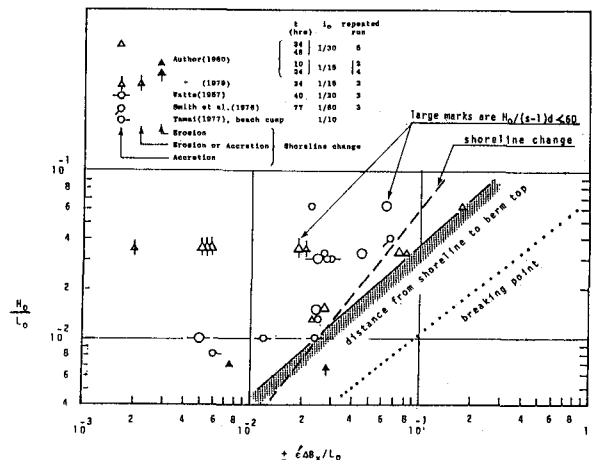


図-3. berm頂の位置の平均誤差

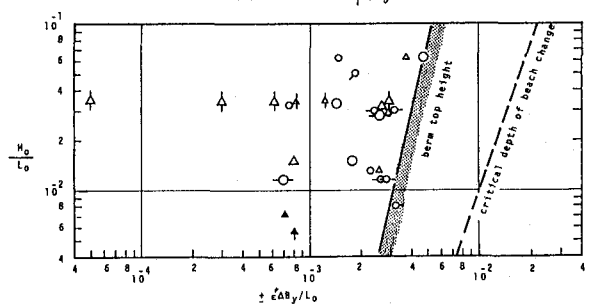


図-4 ber川頂の高さの平均誤差